

ЦИКЛОТРОННЫЙ РЕЗОНАНС ГОРЯЧИХ ДЫРОК ГЕРМАНИЯ В ПОСТОЯННЫХ ЭЛЕКТРИЧЕСКОМ И МАГНИТНОМ ПОЛЯХ $E \perp H$

В.И.Гавриленко, Е.П.Додин, З.Ф.Красильник,

Ю.Н.Ноздрин, М.Д.Чернобровцева

Впервые исследованы спектры циклотронного резонанса (ЦР) горячих дырок Ge в постоянном электрическом поле $E \perp H \parallel [001]$ на длине волны $\lambda = 1,65$ мм. Обнаружены перенаселенность и эффекты непарabolичности зоны легких дырок, отсечка ЦР легких дырок при $E > 500$ В/см, возникновение четных гармоник ЦР тяжелых дырок.

1. Интерес к эффектам горячих дырок германия ¹⁻⁵ вызван возможностью достижения отрицательной дифференциальной проводимости (ОДП) в диапазоне длин волн 2 мм $\gtrsim \lambda \gtrsim 0,05$ мм, связанной с инверсией тяжелых дырок по энергии циклотронного вращения в $E \perp H$ и $E \parallel H$ полях ^{6,7} (классический аналог инверсии по уровням Ландау) и с инверсией прямых оптических переходов между тяжелой и легкой подзонами, возникающей в $E \perp H$ полях и сопровождающейся увеличением концентрации легких дырок по сравнению с равновесным значением ⁸. Обширная информация о свойствах дырок в сильных электрическом и магнитном полях может быть получена методом циклотронного резонанса (ЦР), который позволяет исследовать отдельно легкие и тяжелые дырки, определить их концентрации и времена релаксации в постоянном электрическом поле ⁹, выявить эффекты, обусловленные сложным законом дисперсии и, наконец, определить поглощение германия в условиях, когда можно ожидать ОДП на ЦР.

В данной работе излагаются первые результаты ЛОВ спектроскопии на ЦР горячих дырок в Ge (Ga) на длине волны $\lambda = 1,65$ мм при $T \cong 10 \div 30$ К в электрических полях до 1 кВ/см

2. В эксперименте измерялось поглощение излучения ЛОВ в p -Ge во внешних постоянном магнитном и импульсном электрическом полях. Излучение направлялось квазиоптическим трактом на прямоугольный образец, вырезанный по кристаллографическим осям типа [100] и размещенный в гелиевом криостате в центре сверхпроводящего соленоида ($p \cong 4 \cdot 10^{13} \text{ см}^{-3}$, $N_A + N_D \sim 10^{14} \text{ см}^{-3}$). Плоскость образца $4,7 \times 4,7 \text{ мм}^2$ была ориентирована перпендикулярно магнитному полю и волновому вектору излучения. Прикладываемый к противоположным торцам $4,7 \times 0,7 \text{ мм}^2$ импульс напряжения ($\tau_{\text{имп}} = 10 \text{ мкс}$, $f_{\text{повт}} = 3,3 \text{ Гц}$) вызывал ионизацию акцепторов¹⁾, что приводило к модуляции излучения ЛОВ, проходящего через образец. Сигнал с приемника из n -InSb, расположенного под образцом, преобразовывался строб-интегратором и регистрировался самописцем. Накопление сигнала на строб-интеграторе происходило в момент поступления строб-импульса, синхронизованного с импульсом напряжения.

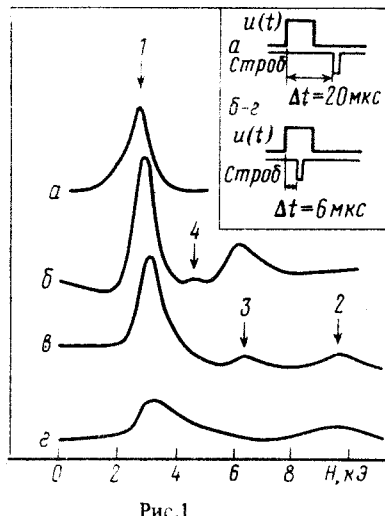


Рис.1

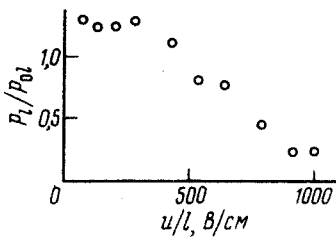


Рис.2

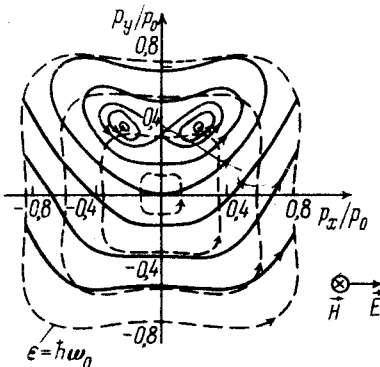


Рис.3

Рис.1. Спектры ИР в p -Ge в скрещенных $E \perp H$ полях. Стрелками указаны легкие дырки (1), вторая – четвертая гармоники ЦР тяжелых дырок (2–4). u/l , В/см: $a - 0$ ($T = 30 \text{ К}$), $b - 90$, $c - 330$, $d - 780$

Рис.2. Зависимость концентрации "замагниченных" легких дырок от электрического поля; P_0 , l – концентрация термоионизованных легких дырок при $T = 30 \text{ К}$

Рис.3. Траектории свободного движения тяжелых дырок в плоскости $p_z = 0$ импульсного пространства в области энергий $\epsilon < \hbar\omega_0$: $H \parallel [001]$, $E \parallel [100]$, $E/H = 0,1 \text{ В/см} \cdot \text{Э}$. Пунктир – $E = 0$. $p_0 = (2m_h\hbar\omega_0)^{1/2}$, где $m_h = 0,32 m_0$

3. Характерные спектры ЦР представлены на рис.1. Спектр a – это спектр равновесных дырок, он получен в условиях, когда строб-импульс следовал непосредственно за импульсом напряжения $u/l = 1300 \text{ В/см}$ ($l = 0,47 \text{ см}$ – длина образца), нагревающим решетку до $T \cong 30 \text{ К}$ (по оценке для адиабатического разогрева), так что практически все акцепторы оставались ионизованными (см. вставку на рис.1)²⁾. Спектры $b - g$ получены при

1) Известно, что при $T = 4,2 \text{ К}$ практически полная ионизация мелких примесей в p -Ge ($p \sim 10^{14} \text{ см}^{-3}$) происходит в полях $E \sim 20 \div 40 \text{ В/см}$ (см., например,¹).

2) Характерное время термализации дырок по окончании импульса поля составляет $\lesssim 10^{-8} \text{ с}$. Последующее остывание образца и, соответственно, вымораживание дырок происходило за время $\gtrsim 10^{-3} \text{ с}$. Концентрация дырок после действия импульса поля зависела от энергии, вносимой электрическим полем в образец, и для импульсов длительностью 10 мкс насыщалась при $u/l > 900 \text{ В/см}$, что контролировалось по ЦР.

совмещении во времени обоих импульсов. Это позволяет оценить отношение числа легких дырок при $u = 0$ (p_0, l) и $u \neq 0$ (p_l) учитывая, что интегральная интенсивность линии ЦР пропорциональна концентрации дырок $\int I(H) dH \sim p$.

Обнаружено, что уже начиная с умеренных электрических полей $u/l \sim 100$ В/см, концентрация легких дырок превышает равновесную $p_l/p_{0,l} > 1$ (см. рис. 2). Явление перенаселенности в таких полях ранее не обсуждалось и наблюдалось, по-видимому, впервые. Перенаселенность сохранялась вплоть до сильных электрических полей, при которых $v_c \sim 3v_l$ $\sim v_h$ (здесь $v_c = cE/H$, $v_{l,h} = (2\hbar\omega_0/m_{l,h})^{1/2}$, $m_{l,h}$ – эффективные массы легких и тяжелых дырок, $\hbar\omega_0$ – энергия оптического фонона). В таких полях перенаселенность обусловлена интенсивным рассеянием тяжелых дырок на оптических фононах, увеличивающим переходы из тяжелых дырок в легкие, в то время как число обратных переходов мало из-за замагниченности легких дырок⁹.

При $u/l > 500$ В/см наблюдалось падение интенсивности линии (отсечка ЦР), что связано с увеличением доли "размагниченных" дырок, достигающих энергии $\epsilon = \hbar\omega_0$ за время, меньшее периода волны, рассеивающихся на фононе и тем самым не участвующих в ЦР. Это сопровождается уменьшением общего числа легких дырок и исчезновением перенаселенности⁹.

4. С ростом электрического поля отмечалось смещение линии ЦР легких дырок в область больших значений магнитных полей – $\Delta H / H \sim 20\%$ при $v_c \sim 0,5v_l$. Как показывают расчеты, эффект связан с непарabolicностью закона дисперсии легких дырок, проявляющейся при разогреве носителей. В сильном электрическом поле часть дырок выносится в течение периода циклотронного вращения в область энергий $\epsilon \sim \hbar\omega_0$, где их масса заметно увеличивается. Циклотронная частота таких дырок при $v_c = 0,5v_l$ на 8% меньше частоты дырок, вращающихся в области энергий $\epsilon \sim \frac{3}{2}kT = 0,1\hbar\omega_0$ при $T = 30$ К, $E = 0$. Смещение пика ЦР в электрическом поле вызвано как уменьшением среднего значения ω_c , так и изменением формы линии¹⁰ из-за зависимости ω_c от осцилляторной энергии дырок. Оценки показывают, что оба эффекта приводят к смещению пика на 15%, если предположить что дырки в результате неупругого рассеяния на оптических фононах локализованы при $\epsilon < \hbar\omega_0$ в окрестности траектории импульсного пространства, проходящей через $\epsilon = 0$ (главная траектория). Хорошее согласие оценки с экспериментом можно рассматривать как косвенное свидетельство возникновения при $u/l > 500$ В/см такого локализованного распределения, являющегося распределением с инверсией по энергии циклотронного вращения¹¹.

5. Из спектров, приведенных на рис.1, видно возникновение и рост второй и четвертой гармоник ЦР тяжелых дырок и уменьшение интенсивности третьей гармоники с увеличением электрического поля. Как известно, при $H \parallel [001]$, $E = 0$ в спектре ЦР тяжелых дырок, характеризующихся анизотропным законом дисперсии, присутствуют лишь нечетные гармоники, что связано с симметрией четвертого порядка траекторий свободного движения – рис.3. Во внешнем поле $E \parallel [100]$ такая симметрия нарушается, меняется интенсивность нечетных гармоник, возникают четные гармоники циклотронного вращения, проявляется неизохронность циклотронного вращения дырок^{7,12}. Четные гармоники возникали в эксперименте уже при небольших скоростях дрейфа $v_c \sim 0,1v_h$ – см. рис.1. При $v_c > 0,5v_h$ скрывалась неизохронность вращения дырок – вторая гармоника ЦР тяжелых дырок смешалась в область больших магнитных полей на 10% при $v_c = 0,45v_h$.

Представляет значительный интерес дальнейшее исследование ЦР горячих дырок на более чистых образцах Ge. Можно ожидать, что при достижении инверсии по энергии циклотронного вращения неизохронность вращения дырок (из-за непарabolicности $\epsilon(p)$ – для легких дырок, или анизотропия $\epsilon(p)$ – для тяжелых дырок) приведет к ОДП на ЦР в скрещенных $E \perp H$ полях.

Авторы благодарны А.А.Андронову за постоянный интерес к работе и многочисленные дискуссии, а также В.Н.Мурзину, А.П.Чеботареву и В.Н.Шастину за обсуждение результатов.

Литература

1. Komiyama S., Spies R. Phys. Rev., 1981, **B23**, 6839.
2. Валов В.А., Козлов В.А., Мазов Л.С., Нефедов И.М. Письма в ЖЭТФ, 1981, **33**, 608.
3. Воробьев Л.Е., Осокин Ф.И., Стafeев B.I., Тулупенко B.H. Письма в ЖЭТФ, 1981, **34**, 125.
4. Иванов Ю.Л. Письма в ЖЭТФ, 1981, **34**, 539.
5. Гавриленко В.И., Мурзин В.Н., Стоклицкий С.А., Чеботарев А.П. Письма в ЖЭТФ, 1982, **35**, 81.
6. Андронов А.А., Додин Е.П., Красильник З.Ф. ФТП, 1982, **16**, 212.
7. Андронов А.А., Гавриленко В.И., Додин Е.П., Красильник З.Ф., Чернобровцева М.Д. Препринт ИПФ
АН СССР №40, Горький, 1982.
8. Андронов А.А., Козлов В.А., Мазов Л.С., Шастик В.Н. Письма в ЖЭТФ, 1979, **30**, 585.
9. Восилюс И.И., Левинсон И.Б. ЖЭТФ, 1966, **50**, 1660; Восилюс И.И. ФТТ, 1969, **11**, 924.
10. Гапонов А.В., Петелин М.И., Юллатов В.К. Изв. высш. уч. зав., сер. Радиофизика, 1967, **10**, 1414.
11. Андронов А.А., Валов В.А., Козлов В.А., Мазов Л.С. ФТТ, 1980, **22**, 1275.
12. Андронов А.А., Додин Е.П., Коробков Г.М., Красильник З.Ф., Чернобровцева М.Д. Тезисы докл. X
совещания по теории полупроводников. Новосибирск, 1980, стр.29.

Институт прикладной физики
Академии наук СССР

Поступила в редакцию
18 марта 1982 г.
После переработки
8 апреля 1982 г.